

はじめに 水域の底泥に含まれる物質の輸送は底泥の性質および水域の水理条件によって異なる。拡散輸送物質として塩分を用い、数種の底泥構成材料に対して水理条件を変化させ、輸送速度を実験水路で測定した。輸送量および底泥の拡散係数について若干の知見を得たので報告する。

上層の水域が静止の場合については、基礎式を式(1)で表せば、底泥内の静止拡散係数 $D_s$ は式(2)で表される隙率入の面積で示す隙間の空間的形状により異なるが、  
 $(1-\varepsilon)/\varepsilon = M = \frac{1}{3}$ と見なしてよいこととする。<sup>1)</sup> ここで得られた値は山口の実験値<sup>2)</sup>

$$D_s = (0.7 \sim 1.6) \times 10^{-5} \text{ cm}^2/\text{sec}$$

$$\frac{\partial S}{\partial t} = D_s \frac{\partial^2 S}{\partial z^2} \quad (1)$$

$$D_s = \lambda^m D_M \quad (2)$$

$$D_s = \sqrt[3]{\lambda} D_M \quad (3)$$

$$D = D_0 \exp(-z/l) \quad (4)$$

$$D_0 = 1.4 \times 10^{-4} \text{ cm}^2/\text{sec}, l = 2.55 \text{ cm} \quad (5)$$

$$D_0 = 9.9 \times 10^{-4} \text{ cm}^2/\text{sec}, l = 100 \text{ cm} \quad (6)$$

$$D_0 = 10^{-4} \sim 10^{-2} \text{ cm}^2/\text{sec} \quad (7)$$

$$D_T = 5 \times 10^{-4} \text{ cm}^2/\text{sec} \quad (8)$$

$$du = d_{10} \cdot d_{60} \quad (9)$$

$$RER = \bar{U} R / v \quad (R: \text{径深}) \quad (10)$$

$$Red = \bar{U} d_v / v \quad (11)$$

上層水域が流動する場合には、奥田が底泥内拡散係数 $D$ が深度方向に変化するとして式(4)の形を与えている。ここに $D$ は底泥界面における値である。千葉県の実験値より式(5)の値、アゼル湖の実測値より式(6)の値を逆算している。

また、山口は総合報告書の中で回転流の実験値より、深さ10cmの不規則では $D$ が深さ<sup>4)</sup>によると増加することを述べている。また式(7)の値、全体として式(8)を与えている。<sup>5)</sup>

実験方法 実験装置は $L_{100} \times B_{10} \times H_{20}$ cmの水路、底に $L_{40} \times B_{10} \times H_{30}$ cmの底層部

を設け、塩水を満たした後、表1 粒径(cm)

	$d_{10}$	$d_{60}$	$d_u$
G: 砂	.55	.8	.66
M: 混合碎石	.16	.7	.33
S: 砂	.08	.10	.093
B: 砂	.03	.04	.035

もつめ上層水至水深約5cm、流速 $\bar{U} = 0.4 \sim 10 \text{ cm/sec}$  ( $RER = 100 \sim 2500$ )で流動させ、底部に固定した16ヶの端子により虚分濃度の時間的变化を測定した。

実験結果 底泥内濃度の時間的变化は $\bar{U} < 1.7 \text{ cm/sec}$  ( $RER < 470$ )までは界面濃度を $S_0$ として、ほぼ静止拡散と同じ型であり誤差係数 $\phi$ で表示される。しかし、流速が増加して $\bar{U} > 2.9 \text{ cm/sec}$  ( $RER > 610$ )では図-1に示すように、底泥表面部の濃度が急激に低下し、あたかも界面が低下したかのように見える。これを底泥内に発達した濃度境界層とみなして、底泥初期濃度を $S_\infty$ とすると $(S_\infty - S)/(S_\infty - S_0) \approx 90\%$ に低下する点を濃度境界層の外縁とし $S_{q0}$ と水理量および底泥特性値との関係を解析した。

濃度境界層と拡散係数 底泥内固定端子の濃度の時間的变化から、濃度境界層厚 $S_{q0}$ は表-1の材料に対する次の関係が得られる。  
 $S_{q0} = B \sqrt{Vt}$  (12)  $V: \text{水の動粘性係数}$   
 $\therefore B = 8.6 \times 10^{-6} (d_u / dus)^{-1/3} Red^2$  (13)  $t: \text{時間}, dus = 0.093 \text{ cm}$   
式(12)が得られたことにより、 $Z' = Z - S$ とおいて $Z' = 0$   $\therefore \frac{(S_\infty - S)}{(S_\infty - S_0)} = e^{-Z'/B\sqrt{t}}$   
 $\therefore$  ただし、 $Z' \leq 1$ では $D$ の变化は $\phi$ とおいてすれば式(14),  
 $\phi = \frac{(S_\infty - S)}{(S_\infty - S_0)} = erfc \left[ \frac{(Z - S)}{2\sqrt{Dt}} \right] = erfc \left[ \frac{(Z - S)}{2\sqrt{Vt}} \right]$  (14)

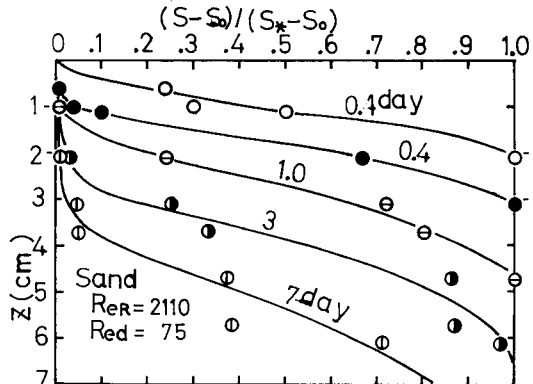


図-1 金直濃度分布の時間的变化

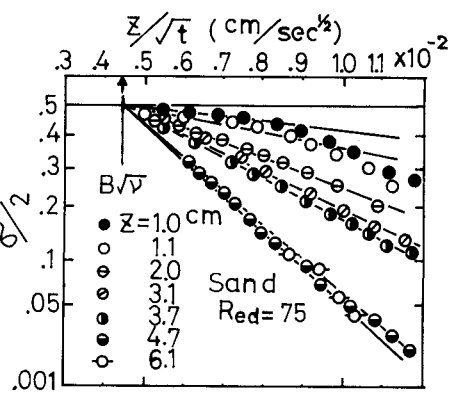


図-2 濃度変化(正規確率紙上)

が得られる。したがって、正規確率紙に  $\sigma/2$  上半分をプロットすれば図-2のような関係が得られる。これより  $\sigma/2 = 0.5$  における  $\lambda$  の値が  $B\sqrt{\nu}$  であり、直線の勾配より各深さに亘る拡散係数が得られる。このようにして求めた  $B$  の値は式(15)の関係に反するが、式(13)が90%濃度低下とやや過大に見積もっているので、式(15)の方がより妥当な値を与えるであろう。次に図-2の勾配から求めた拡散係数  $D$  については式(6)で表される関係にあるが、式(16)で規定された限界深さ  $S_c$  以下では静止拡散係数(3)にななり、 $S_c$  より深い界面までの間で指数的に増加していく。この点については、さらに検討したい。

総括拡散係数 底泥から物質輸送量を量的に表す必要がある。底泥の単位表面積を通じて時間あたりに水域へ輸送される物質量  $M_T$  は鉛直濃度分布の積分により求められるが、これは前述した濃度境界層の低下による  $M_B$  と静止拡散による  $M_S$  の和と考えれば式(17)で表される。一方これらは、それぞれ式(18)、(19)、(20)で表されるから、これらを(17)に代入すれば式(21)が得られる。濃度分布の積分より得られた  $M_T$  は式(18)で近似して求めた  $D_T$  と  $R_{eR}$  の関係を図-3に示す。これより  $D_T$  も  $R_{eR}$  が小さい時は  $D_S$  で表されるが、 $R_{eR}$  が大きくなると、粒径が大きければ  $D_T$  も  $R_{eR}$  で表され、 $R_{eR}$  が大きくなると、 $D_T$  も増加する傾向が見られる。 $D_T$  は式(21)の関係から予想されるように静止拡散に流れによる濃度境界層が底泥内への侵入の結果が加わったものである。式(21)の  $B$  がどうよし/不適格形を表示されると、前に述べた  $D_T$  と  $D_S = \sqrt{D_M}$  を用いて  $B$  を逆算した結果を図-4にプロットした。この結果、これらをほぼ満足する関数式は式(22)とみられ、これが表す可解範囲を図-4に示しておいた。碎石の適合性が悪いか近似的にはば満足しているといえよう。  $B = 0.004$  以下では  $D_T$  からの不一致が1%以下となり、実用上静止拡散式と差えてよいであろう。式(22)を(21)に入れて  $D_T$  を表したもののが式(23)である。右図(1)内方の図が流れの結果であり、流速と粒径が影響することわかる。したがって底泥から水中への物質輸送量は単位表面積により、式(18)となり、 $D_T$  は式(23)を用ひればよいといえる。

#### 参考文献

- 1) 浦: 底泥から静水域への物質輸送について 水工研報33(技術付)
- 2) 水工研: 河口湖の底層拡散、工業用水 104, 1967.5 P40
- 3) 奥田: 人道港水槽における底層の取扱いについて(1) 第一大門型研究報告 7号 1964.3
- 4) 山口: 河口湖における底層拡散現象の総合報告、工業用水 115, 1968.4 P36
- 5) 吉川、山口: 尾水池底から底層拡散と底層流速による底層海水の循環、水工研報 1973.3 P12
- 6) 浦: 便: 砂層から水中への底層拡散について、山大工研報 23-2 1972.12 P69

謝辞 本研究は昭和52年度研究(代表者名工大 沢田健、小林正之 代表者名工大 中西弘)の援助を受けて、心から感謝する。また、実験大河川から浮遊物、山中差引川、正田伸二君、資料整理に協力した本学西村直人技官に謝意を表す。

$$B = 8.6 \times 10^{-6} (d/d_{us})^{-5/4} Red^2 \quad (15)$$

$$S_c = (R_e/1000) R_{eR} \quad (16)$$

$$M_T = M_B + M_S \quad (17)$$

$$M_T = 2\lambda (S_* - S_0) \sqrt{D_T t/\pi} \quad (18)$$

$$M_B = \lambda (S_* - S_0) B \sqrt{t} \quad (19)$$

$$M_S = 2\lambda (S_* - S_0) \sqrt{D_S t/\pi} \quad (20)$$

$$\sqrt{D_T/t} = \sqrt{D_S/t} + B \sqrt{t}/2 \quad (21)$$

$$B = 6.8 \times 10^{-6} (d/d_{us})^{-1} Red^2 \quad (22)$$

$$D_T/D_M = [\lambda^6 + 6.0 \times 10^{-6} \sqrt{S_c} (d/d_{us})^{-1} Red^2]^2 \quad (23)$$

$$\therefore S_c = v/D_M \quad (24)$$

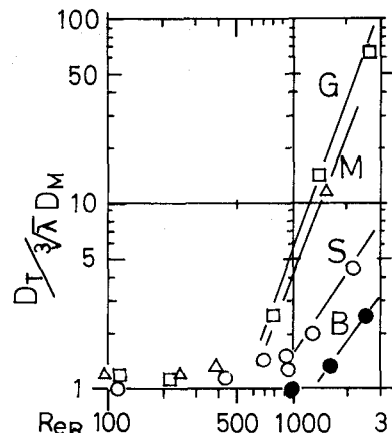


図-3 総括拡散係数と  $R_{eR}$  の関係

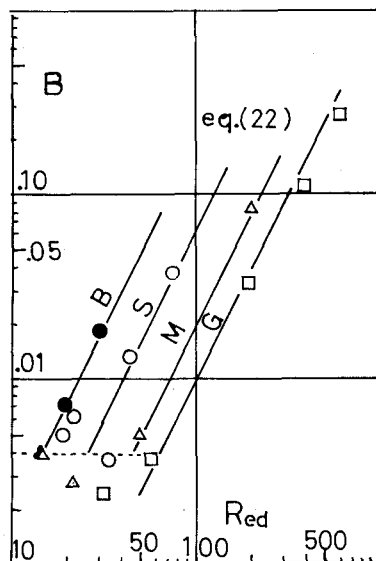


図-4 境界層低下係数  $B$  と  $R_{eR}$  の関係